

На правах рукописи



Юй Чжаокай

**КОЛЕБАНИЯ ЖИДКОСТИ В ДВУХСВЯЗНЫХ ПОЛОСТЯХ В
УСЛОВИЯХ МИКРОГРАВИТАЦИИ**

Специальности 1.1.7. – Теоретическая механика, динамика машин

1.1.9. – Механика жидкости, газа и плазмы

АВТОРЕФЕРАТ

диссертации на соискание учёной степени
кандидата физико-математических наук

Москва – 2023 г.

Работа выполнена в федеральном государственном бюджетном образовательном учреждении высшего образования «Московский государственный технический университет имени Н.Э. Баумана (национальный исследовательский университет)»

Научный руководитель: **Темнов Александр Николаевич**
кандидат физико-математических наук, доцент, доцент кафедры «Космические аппараты и ракеты-носители» МГТУ им. Н.Э. Баумана

Научный консультант: **Шкапов Павел Михайлович**
доктор технических наук, доцент, заведующий кафедрой «Теоретическая механика» имени профессора Н.Е. Жуковского МГТУ им. Н.Э. Баумана

Официальные оппоненты: **Шклярчук Фёдор Николаевич**
доктор технических наук, профессор, главный научный сотрудник Института прикладной механики Российской академии наук, заслуженный деятель науки РФ

Досаев Марат Закирджанович
кандидат физико-математических наук, старший научный сотрудник, заместитель директора научно-исследовательского института механики МГУ им. М.В. Ломоносова

Ведущая организация: Федеральное государственное бюджетное учреждение науки Институт проблем механики им. А.Ю. Ишлинского Российской академии наук (ИПМех РАН)

Защита состоится «29» сентября 2023 г. в 10:00 на заседании диссертационного совета 24.2.327.08 в ФГБОУ ВО «Московский авиационный институт (национальный исследовательский университет)» по адресу: 125993, г. Москва, А-80, ГСП-3, Волоколамское шоссе, д. 4.

С диссертацией можно ознакомиться в библиотеке ФГБОУ ВО МАИ (НИУ) и на сайте МАИ по ссылке: https://mai.ru/events/defence/?ELEMENT_ID=172636

Автореферат разослан « » _____ 2023 г.

Отзывы на автореферат в двух экземплярах, заверенные печатью учреждения, просьба направлять по адресу: 125993, г. Москва, А-80, ГСП-3, Волоколамское шоссе, д. 4, Учёный совет МАИ.

Учёный секретарь
диссертационного совета 24.2.327.08
д.ф.-м.н., с.н.с.



В.Ю. Гидаспов

ОБЩАЯ ХАРАКТЕРИСТИКА РАБОТЫ

Актуальность темы исследования обусловлена необходимостью определения динамических характеристик колебаний жидкого топлива в двухсвязных сосудах в условиях, близких к невесомости, и стандартизацией алгоритма решения задач.

Влияние колебаний жидкого топлива на динамику и устойчивость летательных аппаратов и космических конструкций в условиях действия больших сил тяготения достаточно хорошо изучено в России, США и Китае [Моисеев Н.Н., Румянцев В.В. Динамика тела с полостями, содержащими жидкость. М.: Наука, 1965; Abramson H.N. The dynamic behavior of liquids in moving containers. NASA SP-106, 1966; Wang Zhaolin, Liu Yanzhu. Liquid-filled system dynamics. Beijing: Science press, 2002] Несмотря на это, с созданием новых орбитальных станций (ОС), разгонных блоков (РБ) и других космических аппаратов (КА) важную роль приобретает проблема плескания жидкости ограниченного объёма в условиях микрогравитации ($g = 10^{-6} - 10^{-4} g_0$, где $g_0 = 9,81$ м/сек²), когда существенно проявляется влияние поверхностного натяжения.

В российских и зарубежных работах основное внимание уделено исследованию поведения капиллярной жидкости в цилиндрических, сферических и эллипсоидальных сосудах, которые часто применяются в ракетно-космической технике (РКТ). Необходимость увеличения массы и объёма полезной нагрузки транспортных систем выведения приводит к увеличению объёма топливных баков верхней ступени ракет-носителей (РН) или РБ, и применению баков в виде двухсвязных полостей, имеющих форму тел вращения. Поведение жидкости в двухсвязных сосудах в условиях микрогравитации исследовано недостаточно полно и является объектом исследования данной работы.

Цель работы и задачи исследования.

Целью работы является определение динамических характеристик жидкости в двухсвязных полостях в условиях микрогравитации с учётом сил поверхностного натяжения на основе метода конечных элементов.

Задачи исследования:

1. Разработка математической модели равновесия гидромеханической системы жидкость–газ–твёрдая стенка сосуда и алгоритмов отыскания форм равновесной свободной поверхности жидкости в двухсвязных полостях;
2. Разработка методики определения собственных частот и форм малых колебаний жидкости в коаксиально-цилиндрическом сосуде;
3. Исследование математической модели малых колебаний капиллярной жидкости ограниченного объёма и разработка алгоритма решения задач в тороидальном сосуде на основе метода конечных элементов;
4. Разработка механического аналога малых колебаний жидкости в условиях микрогравитации и получение выражения жёсткости спиральной пружины, моделирующей действие сил поверхностного натяжения;
5. Обоснование механизмов диссипации энергии малых колебаний жидкости с учётом капиллярного эффекта и оценка коэффициента демпфирования колебаний жидкости вблизи линии трёхфазного контакта (ЛТК) жидкости.

Методы исследований. При решении поставленных задач применены различные математические и вычислительные методы: вариационный метод, метод Рунге-Кутты 4-го порядка, метод разделения переменных, метод Ритца и метод конечных элементов. В исследовании равновесия и колебаний жидкости применялись вариационный и энергетический подходы.

Научная новизна работы заключается в том, что в ней:

1. дано теоретическое объяснение явления сосредоточения капиллярной жидкости около внешней стенки тороидального сосуда, экспериментально наблюдаемого в башне невесомости [Symons P. Zero-gravity equilibrium configuration of liquid-vapor interface in toroidal tanks. NASA TN D-6076, 1970];
2. оценено влияние разных граничных условий вблизи линии трёхфазного контакта на собственные частоты и формы колебаний жидкости в тороидальном сосуде в условиях, близких к невесомости;
3. исследованы динамические характеристики жидкости в баке в условиях микрогравитации с учётом сил поверхностного натяжения;
4. разработан механический аналог малых колебаний жидкости с учётом капиллярного эффекта;
5. получено новое граничное условие на ЛТК, применение которого позволило количественно оценить коэффициент демпфирования вблизи ЛТК.

Достоверность и обоснованность полученных результатов обеспечивается:

- использованием в работе известных вариационных принципов механики и энергетического подхода, как способов решения задач гидромеханики;
- реализацией разработанного алгоритма на программном комплексе MATLAB с проверкой достоверности и сходимости на ряде тестовых задач;
- удовлетворительным согласованием результатов отдельных частей работы с известными данными других авторов, как аналитическими, численными, так и экспериментальными.

Практическая ценность результатов работы состоит в том, что:

1. полученные результаты о положениях равновесия и динамических характеристиках жидкого топлива в коаксиально-цилиндрическом и тороидальном сосудах могут быть полезны для дальнейшего проектирования двухсвязных топливных баков верхней ступени РН и разгонных блоков;
2. полученные формы равновесной свободной поверхности могут быть использованы при проектировании заборных устройств топливных баков космических аппаратов, так как для решения подобных задач необходимо учитывать положение равновесия жидкости в космическом пространстве;
3. определённые динамические характеристики колебаний жидкости в слабых гравитационных полях могут быть использованы при анализе динамики и устойчивости движения верхних ступеней РН, РБ и КА.

Личный вклад соискателя. Представленные результаты из совместных публикаций получены соискателем и обсуждались вместе с руководителем и научным консультантом.

Апробация работы. Основные результаты работы докладывались на ряде Международных и Российских конференций:

1. VI–VIII Международная научная конференция «Фундаментальные и прикладные задачи механики» (г. Москва, декабрь 2020–2022 гг.);

2. XLV и XLVII Академические чтения по космонавтике «Королёвские чтения» (г. Москва, апрель 2021 г. и январь 2023 г.);
3. XLVII Международная молодёжная научная конференция «Гагаринские чтения» (г. Москва, апрель 2021 г.);
4. 12-ая и 13-ая Международная конференция – школа молодых учёных «Волны и вихри в сложных средах» (г. Москва, декабрь 2021–2022 гг.);
5. XXXI–XXXIII Крымская осенняя математическая школа-симпозиум по спектральным и эволюционным задачам (г. Алушта, сентябрь 2020–2022 гг.).

Публикации. Основные результаты отражены в 15 научных работах, из них 4 работы в рецензируемых журналах, рекомендуемых ВАК РФ, и 1 работа из Перечня международных научных изданий, включенных в базу данных Web of Science, Scopus. Дополнительно результаты исследований опубликованы в материалах и сборниках тезисов научных конференций.

Структура и объём работы. Диссертационная работа состоит из введения, четырех глав с выводами по каждой главе, заключения, списка литературы из 128 наименований. Объём работы включает 134 страницы, 64 рисунков, 16 таблиц.

СОДЕРЖАНИЕ РАБОТЫ

Во введении отмечена актуальность темы диссертации, сформулированы цель и задачи исследования, приведены положения, определяющие научную новизну и практическую ценность полученных результатов, указан личный вклад соискателя и описана структура работы.

В главе 1 приведен обзор литературы по исследованию поведения жидкости в условиях микрогравитации и введены основные понятия гидромеханики невесомости.

Задача исследования влияния поверхностного натяжения на форму жидкости впервые была поставлена бельгийским физиком Плато, и Юнг приступил к созданию математической теории капиллярности исходя из аналогии между упругой плёнкой и свободной поверхностью капиллярной жидкости. Одновременно Лаплас дал физически естественный подход к теории капиллярности, основанный на учёте взаимодействия близкорасположенных частиц жидкости. Данный подход в дальнейшем был завершён Гауссом на основе принципа возможных перемещений и связанного с ним принципа минимума потенциальной энергии.

В начале 60-х годов прошлого века первые исследования о поведении жидкости в слабых гравитационных полях, стимулированные потребностями космической техники, провели Н.Н. Моисеев, В.В. Румянцев, А.А. Петров, Ф.Л. Черноусько, В.А. Самсонов, Г.Н. Микишев, Чурилов Г.А. и др. В это же время, группа молодых исследователей (Бабский В.Г., Копачевский Н.Д., Слобожанин Л.А., Тюпцов А.Д.) под руководством А.Д. Мышкиса также была привлечена к изучению данных задач гидромеханики в условиях микрогравитации.

Одновременно в Юго-западном исследовательском институте под руководством Абрамсона (Abramson H.N.) занимались подобными задачами гидромеханики. Китайский ученик В.В. Румянцева Wang Zhaolin в университете Tsinghua создал научную школу по динамике и устойчивости космических аппаратов с полостями, частично заполненными жидкостью.

К настоящему времени подробно исследовано поведение капиллярной жидкости в цилиндрических, сферических и эллипсоидальных сосудах, которые часто применяются в ракетно-космической технике. В последнее время стали использоваться топливные баки более сложной формы, в том числе коаксиально-цилиндрические и тороидальные ёмкости, как более удобные для компоновки космического аппарата. Поведение жидкости в этих двухсвязных полостях оказалось мало изученным и требующим создание численных алгоритмов решения этих задач, допускающих стандартизацию, что важно при использовании современной вычислительной техники.

Следует отметить, что во многих работах российских и зарубежных учёных показано, что экспериментальные результаты декремента колебаний жидкости в топливных баках систематически больше теоретических значений на основе учёта только пограничного слоя стенки сосуда. Чтобы избежать расогласование, Г.Н. Микишеви и Б.И. Рабинович ввели эмпирическую поправку $\sqrt{2}$ в формулу диссипативной силы в погранслое Стокса. В статье Майлса [Miles J.W., 1967] предложены четыре механизма диссипации энергии: в погранслое стенки, в основной массе жидкости, за счёт загрязнения свободной поверхности поверхностно-активными веществами, вблизи ЛТК. Последние два механизма диссипации энергии связаны с капиллярным эффектом жидкости.

В главе 2 рассмотрена осесимметричная задача о положении равновесия капиллярной жидкости в двухсвязных полостях, которая имеет сложную нелинейную формулировку.

Топливный бак, частично заполненный жидкостью, представляет собой механическую систему жидкость–газ–твёрдая стенка (рис. 1). Потенциальная энергия системы с учётом поверхностного взаимодействия будет:

$$U = \int_{\Omega} \rho g z d\Omega + \sigma |\Gamma| + \sigma_0 |\Sigma| + \sigma' |\Sigma'|, \quad (1)$$

где σ , σ_0 , σ' – коэффициенты поверхностного натяжения разделов жидкости–газа, жидкости–стенки и газа–стенки соответственно, $|\Gamma|$, $|\Sigma|$ и $|\Sigma'|$ означают площади соответствующих поверхностей, ρ – плотность жидкости, g – ускорение.

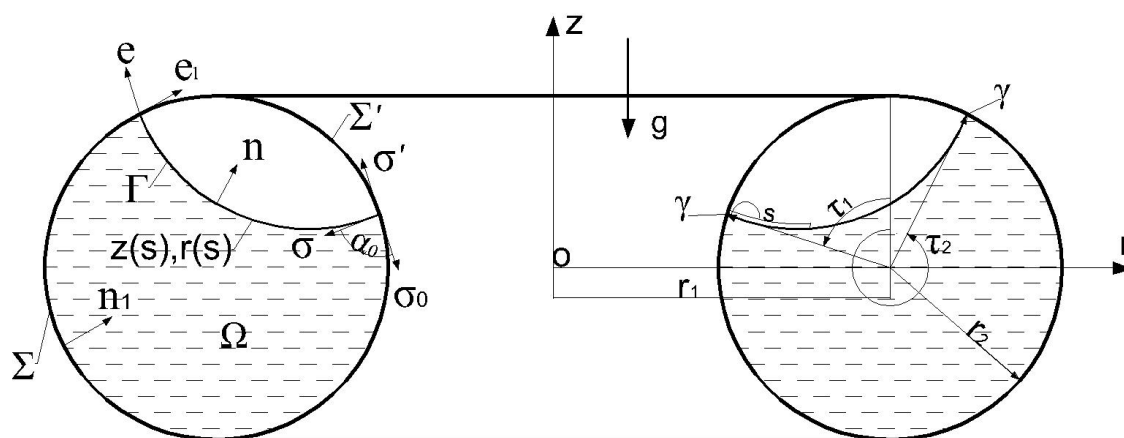


Рис. 1. Основные обозначения системы жидкость–газ–твёрдая стенка.

Согласно вариационному принципу стационарности потенциальной энергии система находится в состоянии равновесия тогда, когда $\delta U = 0$ для всех допустимых вариаций δx свободной поверхности Γ .

Введён множитель Лагранжа c для учёта условия несжимаемости жидкости, имеем следующее обращение в нуль δU :

$$\int_{\Gamma} [\rho g z + c - 2\sigma H] \mathbf{n} \cdot \delta \mathbf{x} d\Gamma + \int_{\gamma} [\sigma \cos \alpha_0 + (\sigma_0 - \sigma')] \mathbf{e}_1 \cdot \delta \mathbf{x} d\gamma = 0. \quad (2)$$

Из выражения вариации потенциальной энергии следуют уравнения равновесия гидромеханической системы:

$$\rho g z + c - 2\sigma H = 0 \text{ на } \Gamma, \quad \sigma \cos \alpha_0 + (\sigma_0 - \sigma') = 0 \text{ на } \gamma. \quad (3)$$

Для осесимметричной задачи получим безразмерную систему уравнений:

$$r_s = u, \quad z_s = v, \quad u_s = -v(B_0 z + C - v/r), \quad v_s = u(B_0 z + C - v/r), \quad (4)$$

где $B_0 = \rho g l^2 / \sigma$ – число Бонда, характеризующее соотношение массовой силы и поверхностного натяжения, l – характерный размер задачи и для тороидального сосуда выбран радиус окружности меридиана тора r_2 , нижний индекс s означает первую производную функций по длине дуги s .

Относительный объём жидкости β (соотношение объёма жидкости к объёму полости) оказывает существенное влияние на положение и форму свободной равновесной поверхности жидкости в тороидальных сосудах. Запишем дополнительное условие о сохранении объёма жидкости в торе:

$$\frac{1}{\pi r_1} \left[\int_0^{s_0} z r r' ds + \int_{\tau_1}^{\tau_2} (r_1 - \sin \tau) \cos^2 \tau d\tau \right] = \beta, \quad (5)$$

где s – длина дуги искомой линии, τ – полярный угол, отсчет которого ведется от вершины тора против часовой стрелки, r_1 – радиус осевой окружности тора, s_0 – общая длина дуги, τ_1 и τ_2 указаны на рис. 1.

На основе метода Рунге-Кутты 4-го порядка и логической схемы рис. 2 разработана программа отыскания форм равновесной свободной поверхности жидкости в коаксиально-цилиндрических и тороидальных сосудах.

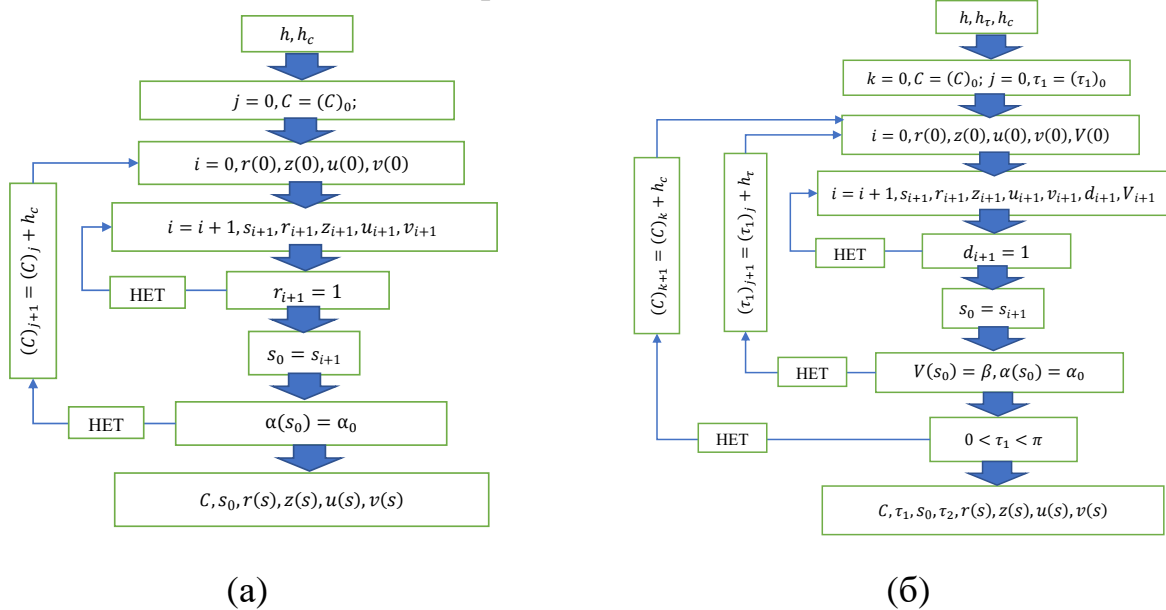


Рис. 2. Структурная схема алгоритма решения системы дифференциальных уравнений, (а) – коаксиальный цилиндр, (б) – тор.

Основные трудности решения задач заключаются в определении константы C и полярного угла τ_1 , которые зависят от угла смачивания α_0 , объёма жидкости

β , числа Бонда B_0 и геометрии сосуда r_1 при заданной системе координат. На рис. 3. показаны характерные значения констант C и положения ЛТК τ_1 в зависимости от приведенных параметров. Из расчётов следует, что с увеличением угла смачивания α_0 значение C уменьшается.

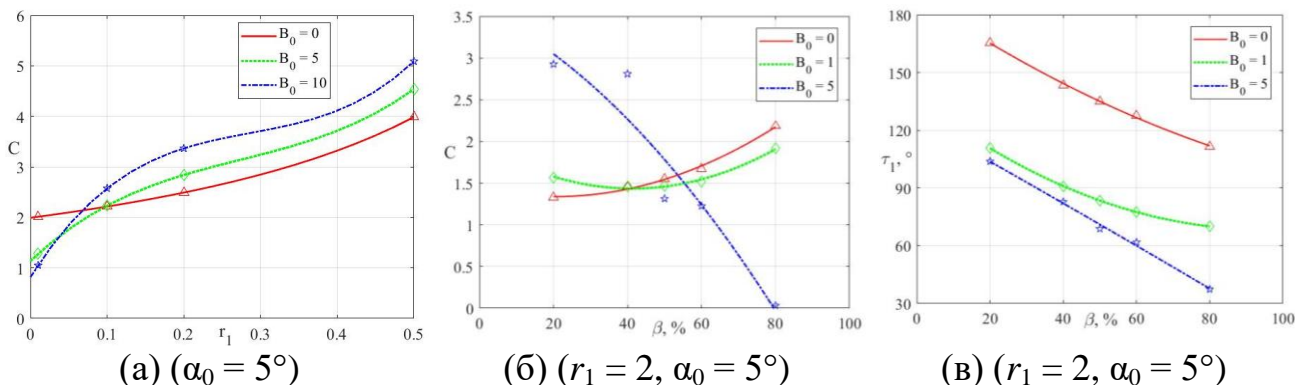


Рис. 3. Константа C для коаксиального цилиндра (а) и тороидального сосуда (б), положение ЛТК τ_1 (в) на внутренней стенке тора.

На рис. 4(а) видно, что при уменьшении числа Бонда B_0 свободная поверхность более искривлена, и в условиях полной невесомости жидкость сосредоточена около внешней стенки тороидального сосуда. Данное явление можно объяснить теоретически: в условиях, близких к невесомости, жидкость стремится занимать положение минимальной потенциальной энергии, т.е. в сторону меньшего радиуса кривизны. Подобное явление наблюдалось в экспериментах в башне невесомости при объёмах жидкости до 20% [Symons P. Zero-gravity equilibrium configuration of liquid-vapor interface in toroidal tanks. NASA TN D-6076, 1970]. И с увеличением размера сосуда данное явление проявлялось в большем диапазоне объёма жидкости.

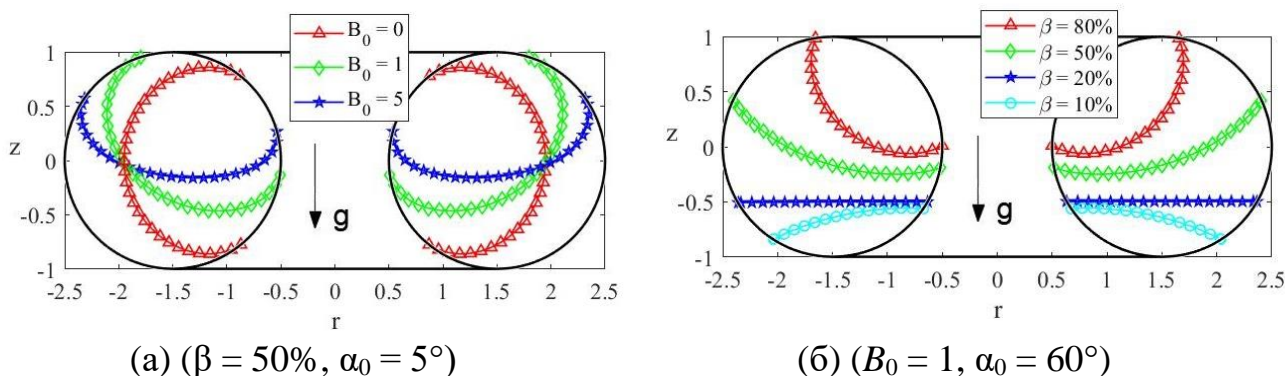


Рис. 4. Положения равновесия жидкости в тороидального сосуда: (а) – в зависимости от числа Бонда B_0 , (б) – в зависимости от объёма жидкости β .

Эволюция формы равновесной свободной поверхности в тороидальном сосуда при различных значениях β приведена на рис. 4(б). Эта одна из актуальных задач гидромеханики невесомости [Авдудевский В.С., Полежаев В.И. Гидромеханика и теплообмен в невесомости. М.: Наука, 1982].

Глава 3 посвящена исследованиям малых колебаний идеальной несжимаемой жидкости ограниченного объёма в условиях микрогравитации.

В постановке задачи о малых колебаниях жидкости в слабых гравитационных полях капиллярная специфика проявляется в динамическом

условии на свободной поверхности и в граничном условии на ЛТК (рис. 5).

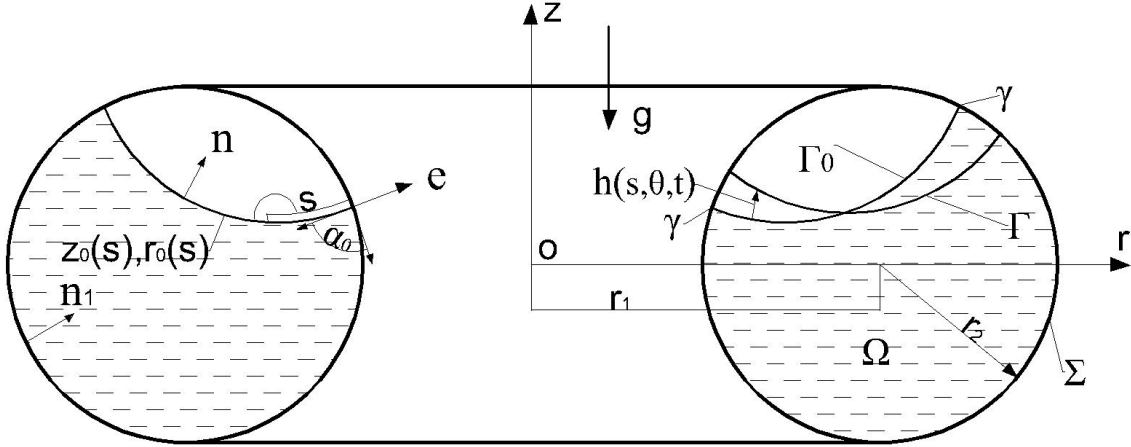


Рис. 5. Основные обозначения параметров движущейся жидкости.

Потенциальная энергия движущейся жидкости отсчитывается от состояния равновесия:

$$\begin{aligned} \Pi &= \Pi_g + \Pi_\sigma + \Pi_\gamma, \text{ где } \Pi_g = \frac{1}{2} \rho g \int_{\Gamma_0} h^2 r_{0s} d\Gamma, \\ \Pi_\sigma &= \frac{1}{2} \sigma \int_{\Gamma_0} [\nabla_\Gamma h \nabla_\Gamma h - (k_1^2 + k_2^2) h^2] d\Gamma, \quad \Pi_\gamma = \frac{1}{2} \sigma \int_\gamma \chi h^2 d\gamma, \end{aligned} \quad (6)$$

где Π_g – потенциальная энергия массовых сил, Π_σ и Π_γ – потенциальная энергия сил поверхностного натяжения на свободной поверхности жидкости и на ЛТК соответственно, r_{0s} – направляющий косинус нормали свободной поверхности с осью z , k_1 и k_2 – главные кривизны равновесной свободной поверхности, $\chi = (k_1 \cos \alpha_0 - k_1^\Sigma) / \sin \alpha_0$ – коэффициент описания формы свободной поверхности и стенки сосуда на ЛТК, k_1^Σ – главная кривизна поперечного сечения стенки сосуда на ЛТК.

Используем вариационный принцип Гамильтона – Остроградского:

$$\int_{t_1}^{t_2} \left\{ \int_{\Gamma_0} \left[\rho \frac{\partial \varphi}{\partial t} + \rho g r_{0s} h - \sigma \left[(k_1^2 + k_2^2) h + \Delta_\Gamma h \right] \right] \delta h d\Gamma + \sigma \int_\gamma \left(\frac{\partial h}{\partial e} + \chi h \right) \delta h d\gamma \right\} dt = 0. \quad (7)$$

Получим динамическое условие на свободной поверхности жидкости и граничное условие на линии контакта:

$$\frac{\partial \varphi}{\partial t} + g r_{0s} h - \frac{\sigma}{\rho} \left[(k_1^2 + k_2^2) h + \Delta_\Gamma h \right] = 0 \text{ на } \Gamma_0, \quad \frac{\partial h}{\partial e} + \chi h = 0 \text{ на } \gamma. \quad (8)$$

Решения задачи $\varphi(r, z, \theta, t)$ и $h(s, \theta, t)$ можно представить в виде:

$$\varphi(r, z, \theta, t) = \sum_{n=1}^{\infty} \varphi_n(r, z, \theta) \cos \omega_n t, \quad h(s, \theta, t) = \sum_{n=1}^{\infty} h_n(s, \theta) \sin \omega_n t, \quad (9)$$

где $\omega_n = \omega_n^p (r_2^3 / \sigma)^{1/2}$, r_2 – радиус окружности меридиана тора (рис. 5) и выбран как характерный размер задачи, а ω_n и ω_n^p – безразмерная и размерная частота колебаний жидкости.

Исключая переменную времени t и используя вариационный метод Галёркина, получим задачу о нормальных колебаниях капиллярной жидкости:

$$\delta I_1 = 0, \text{ где } I_1 = \int_{\Gamma_0} \left\{ [B_0 r_{0s} - (k_1^2 + k_2^2)] h_n^2 + \nabla_\Gamma h_n \nabla_\Gamma h_n \right\} d\Gamma_0 + \chi \int_\gamma h_n^2 d\gamma - \int_\Omega \nabla \varphi_n \nabla \varphi_n d\Omega. \quad (10)$$

В выражении функционала I_1 есть слагаемое $\nabla_{\Gamma} h_n$, которое представляет собой вторую производную потенциала скоростей жидкости φ_n и вызывает трудность при решении задачи колебаний капиллярной жидкости. Удобно рассматривать поле скоростей жидкости $\partial\varphi_n/\partial n$ на свободной поверхности как расчётную функцию в данной задаче и введена вспомогательная задача Неймана для создания связи между потенциалом скоростей жидкости φ_n и $\partial\varphi_n/\partial n$. В дальнейшем увидим, что данный подход позволит использовать линейные треугольные элементы при применении метода конечных элементов.

Преобразуем задачу Неймана в виде вариации функционала:

$$\delta I_2 = 0, I_2 = \int_{\Gamma_0} \varphi_n \frac{\partial\varphi_n}{\partial n} d\Gamma_0 - \frac{1}{2} \int_{\Omega} \nabla\varphi_n \nabla\varphi_n d\Omega. \quad (11)$$

При ограничении в работе решений, отвечающих функциям $\cos(m\theta)$, процедура решения поставленной задачи будет гораздо упрощается:

$$\varphi_n(r, z, \theta) = \Phi(r, z) \cos(m\theta), \quad h_n(s, \theta) = H(s) \cos(m\theta). \quad (12)$$

Полярный угол θ отсчитывается от оси Ox и в (12) имеются два индекса: номер тона n и число волн в окружном направлении m .

Приведенные выше вариационные постановки задачи (10–11) пригодны для применения метода конечных элементов (МКЭ). В данной задаче выбраны линейные треугольные элементы для аппроксимации области, занимаемой жидкостью, и соответствующая схема аппроксимации показана на рис. 6 (а).

Представив расчётные функции в элементе по их узловым значениям, приходим к матричной форме функционалов I_1 и I_2 :

$$I_1 = \left(\frac{\partial\Phi}{\partial\mathbf{n}} \right)^T (B_0\mathbf{B}_1 - \mathbf{B}_2 + \mathbf{B}_3 + \mathbf{B}_4) \frac{\partial\Phi}{\partial\mathbf{n}} - \omega_n^2 \Phi^T \mathbf{A} \Phi, \quad (13)$$

$$I_2 = \Phi_1^T \mathbf{B} \frac{\partial\Phi}{\partial\mathbf{n}} - \frac{1}{2} \Phi^T \mathbf{A} \Phi.$$

где $\partial\Phi/\partial\mathbf{n}$ и Φ_1 – матрицы-столбцы узловых значений скоростей жидкости и потенциала скоростей на свободной поверхности, а $\Phi^T = (\Phi_1^T, \Phi_2^T)$ – матрица-строка узловых значений потенциала скоростей жидкости, индекс « T » обозначает операцию транспонирования, квадратные матрицы \mathbf{A} , \mathbf{B} , \mathbf{B}_1 , \mathbf{B}_2 , \mathbf{B}_3 и \mathbf{B}_4 составлены из следующих матриц элемента:

$$\mathbf{A}_i = [A_{jk}^i] \text{ и } A_{jk}^i = \int_{\Omega_i} \left[\frac{\partial N_j}{\partial r} \frac{\partial N_k}{\partial r} + \frac{\partial N_j}{\partial z} \frac{\partial N_k}{\partial z} + \frac{m^2 N_j N_k}{r^2} \right] r dr dz,$$

$$\mathbf{B}_i = [B_{jk}^i] \text{ и } B_{jk}^i = \int_{\Gamma_{0i}} M_j M_k r ds, \quad \mathbf{B}_{1i} = [B_{jk}^{1i}] \text{ и } B_{jk}^{1i} = \int_{\Gamma_{0i}} r_{0s} M_j M_k r ds, \quad (14)$$

$$\mathbf{B}_{2i} = [B_{jk}^{2i}] \text{ и } B_{jk}^{2i} = \int_{\Gamma_{0i}} (k_1^2 + k_2^2) M_j M_k r ds, \quad \mathbf{B}_{4i} = [B_{jk}^{4i}] \text{ и } B_{jk}^{4i} = (\chi r)_{\gamma} \delta_{jk},$$

$$\mathbf{B}_{3i} = [B_{jk}^{3i}] \text{ и } B_{jk}^{3i} = \int_{\Gamma_{0i}} \left[\frac{\partial M_j}{\partial s} \frac{\partial M_k}{\partial s} + \frac{m^2 M_j M_k}{r^2} \right] r ds.$$

где M_i ($i = 1, 2$) и N_i ($i = 1, 2, 3$) означают функции формы i -го узла элемента линии и линейного треугольного элемента соответственно.

Обозначим n_f – общее количество узлов на свободной поверхности, а n_g – общее количество узлов в области жидкости, матрица \mathbf{B} имеет размерность $n_f \times$

n_f и матрица \mathbf{A} размерности $n_g \times n_g$ может быть записана в виде:

$$\mathbf{A} = \begin{pmatrix} \mathbf{A}_1 & \mathbf{A}_2 \\ \mathbf{A}_3 & \mathbf{A}_4 \end{pmatrix}, \quad (15)$$

где \mathbf{A}_1 в размерности $n_f \times n_f$, \mathbf{A}_2 в размерности $n_f \times (n_g - n_f)$, \mathbf{A}_3 в размерности $(n_g - n_f) \times n_f$ и \mathbf{A}_4 в размерности $(n_g - n_f) \times (n_g - n_f)$.

Из выражения вариации функционала $\delta I_2 = 0$ получим систему уравнений относительно матриц Φ_1 и Φ_2 , и определим их выражения через $\partial\Phi/\partial\mathbf{n}$:

$$\mathbf{A}_1\Phi_1 + \mathbf{A}_2\Phi_2 = \mathbf{B} \frac{\partial\Phi}{\partial\mathbf{n}}, \quad \mathbf{A}_3\Phi_1 + \mathbf{A}_4\Phi_2 = 0 \Rightarrow \Phi_1 = \mathbf{A}_5^{-1} \frac{\partial\Phi}{\partial\mathbf{n}}, \quad \Phi_2 = -\mathbf{A}_6 \frac{\partial\Phi}{\partial\mathbf{n}}, \quad (16)$$

где $\mathbf{A}_5 = \mathbf{B}^{-1}(\mathbf{A}_1 - \mathbf{A}_2\mathbf{A}_4^{-1}\mathbf{A}_3)$, $\mathbf{A}_6 = \mathbf{A}_4^{-1}\mathbf{A}_3\mathbf{A}_5^{-1}$.

Исключив Φ_1 , Φ_2 в I_1 через $\partial\Phi/\partial\mathbf{n}$, функционал I_1 принимает вид:

$$I_1 = \left(\frac{\partial\Phi}{\partial\mathbf{n}} \right)^T (\mathbf{K} - \omega_n^2 \mathbf{M}) \frac{\partial\Phi}{\partial\mathbf{n}}, \quad \text{где } \mathbf{K} = B_0\mathbf{V}_1 - \mathbf{V}_2 + \mathbf{V}_3 + \mathbf{V}_4, \quad (17)$$

$$\mathbf{M} = (\mathbf{A}_5^{-1})^T \mathbf{A}_1 \mathbf{A}_5^{-1} - (\mathbf{A}_5^{-1})^T \mathbf{A}_2 \mathbf{A}_6 - \mathbf{A}_6^T \mathbf{A}_3 \mathbf{A}_5^{-1} + \mathbf{A}_6^T \mathbf{A}_4 \mathbf{A}_6.$$

При составлении матрицы \mathbf{M} применяется метод статической конденсации [Guyan R.J., 1965], за счёт которого степени свободы задачи (17) совпадают с количеством узлов на свободной поверхности. При больших силах тяготения равновесная свободная поверхность плоская и перпендикулярная к направлению ускорения, элементы матрицы \mathbf{V}_2 , связанные с кривизной поверхности, близки к нулю и матрицы \mathbf{V}_3 и \mathbf{V}_4 , характеризующие воздействие поверхностного натяжения, пренебрежимо малы по сравнению со слагаемым $B_0\mathbf{V}_1$. В этих условиях разработанный алгоритм в диссертации преобразован в алгоритм решения краевой задачи на собственные значения колебаний жидкости при больших числа Бонда [Бужинский В.А., 2020].

Из вариационной формулировки задачи $\delta I_1 = 0$ получена задача на определение собственных частот и форм колебаний капиллярной жидкости:

$$(\mathbf{K} - \omega_n^2 \mathbf{M}) \frac{\partial\Phi}{\partial\mathbf{n}} = 0. \quad (18)$$

Из приведённого выше текста вытекает алгоритм решения задачи о малых колебаниях капиллярной жидкости в любом осесимметричном сосуде:

- 1). определение формы равновесной свободной поверхности капиллярной жидкости $z = z_0(s)$, $r = r_0(s)$ и получение функций r_{0s} , k_1 , k_2 , χ ;
- 2). создание геометрической модели области жидкости и выполнение её аппроксимации треугольными элементами в программе PARTRAN;
- 3). обработка информации о координатах узлов треугольных элементов в программе MATLAB;
- 4). получение матриц \mathbf{A} , \mathbf{B} , \mathbf{V}_1 , \mathbf{V}_2 , \mathbf{V}_3 и \mathbf{V}_4 с использованием численного интегрирования функций по формулам Гаусса;
- 5). решение задачи на определение собственных частот и форм колебаний капиллярной жидкости по приведенным выше формулам.

Иногда наблюдается неподвижная ЛТК в процессе движения капиллярной жидкости, к примеру, жидкость пересекает кольцевые ребра. Рассмотрим собственные колебания капиллярной жидкости при неподвижной ЛТК.

Так как ЛТК неподвижна, исключим строки и столбцы, соответствующие узлам на ЛТК, и получим уравнение:

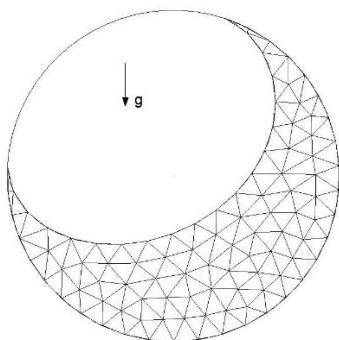
$$\left(\mathbf{K}' - \omega_n^2 \mathbf{M}'\right) \frac{\partial \Phi}{\partial \mathbf{n}} = 0. \quad (19)$$

Так как в литературе отсутствуют данные о колебаниях жидкости в тороидальных сосудах в условиях микрогравитации, проверка достоверности и сходимости разработанного алгоритма проведена в примере сферического сосуда. В таблице 1 и на рис. 6 (б) и (в) приведены численные результаты соискателя и других авторов. При объёме жидкости $\beta=50\%$ и угле смачивания $\alpha_0 = 90^\circ$ численное значение первого тона ω_1^* хорошо совпадает с полученным результатом в литературе [Chu W.H., 1970].

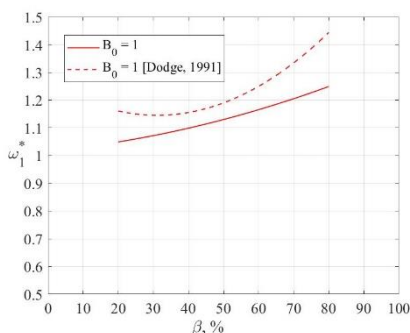
Таблица 1. Проверка достоверности алгоритма в случае сферического сосуда, где $\omega_1^* = \omega_1/\sqrt{B_0}$ и β – объём заполнения сосуда жидкостью,

	$B_0 = 1, \alpha_0 = 5^\circ$			$B_0 = 2, \alpha_0 = 5^\circ$			$B_0 = 1000, \alpha_0 = 90^\circ$
$\beta, \%$	25	50	78	25	50	78	50
ω_1^*	1.06	1.13	1.24	1.07	1.13	1.24	1.56
ω_1^* в литературе	1.15	1.19	1.42	1.05	1.11	1.35	1.54
	[Dodge F.T., 1991]						[Chu W.H., 1970]

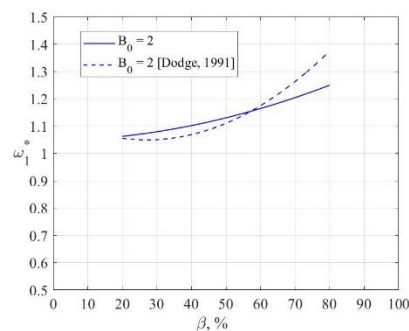
В таблице 1 и на рис. 6 (б) и (в) только при большем диапазоне объёма жидкости имеется хорошее совпадение численных результатов соискателя и в литературе [Dodge F.T., 1991]. Можно делать вывод о том, что разработанный алгоритм в диссертации может быть пригоден для исследований колебаний жидкости в сосудах в условиях микрогравитации.



(а)



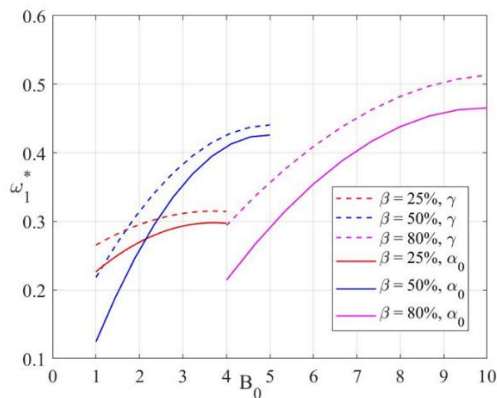
(б) ($\alpha_0 = 5^\circ$)



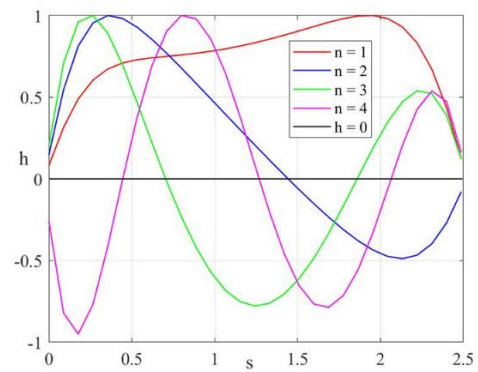
(в) ($\alpha_0 = 5^\circ$)

Рис. 6. Схема аппроксимации области жидкости в правом сечении тора (а), основной тон колебаний жидкости в сфере (б) и (в).

Асимметричная мода ($m = 1$) колебаний. На рис. 7(а) приведены собственные частоты 1-го тона колебаний жидкости ω_1^* при сохранении угла смачивания (α_0) и неподвижной ЛТК (γ). Рис. 7(б) показывает собственную форму $h(s)$ первых четырёх тонов ($n = 1, 2, 3, 4$), линия $h = 0$ означает положение равновесия жидкости.



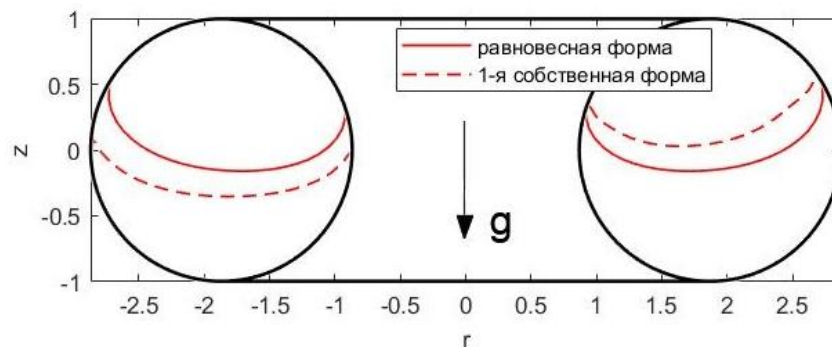
(а) ($r_1 = 1.87, \alpha_0 = 5^\circ$)



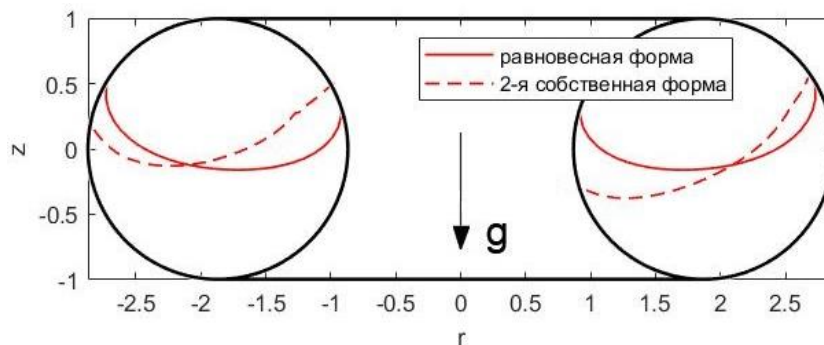
(б) ($B_0 = 5, r_1 = 1.87, \alpha_0 = 5^\circ$)

Рис. 7. Собственные частоты (а) и формы (б) колебаний жидкости в тороидальных сосудах, где s – длина дуги меридиана свободной поверхности.

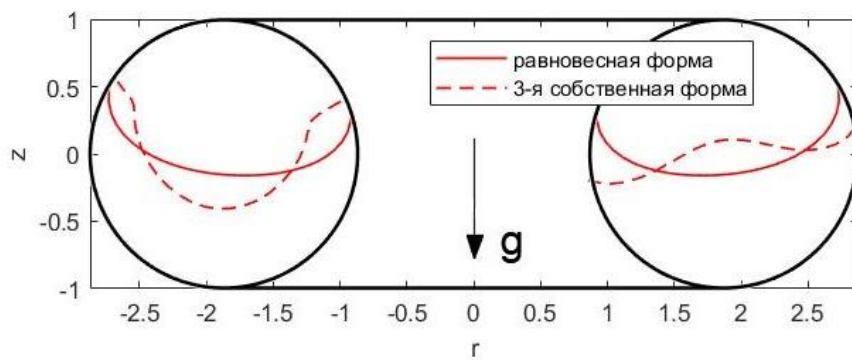
На рис. 8 показаны собственные формы колебаний жидкости относительно равновесной свободной поверхности в условиях микрогравитации для поперечного сечения тора. Сплошная линия показывает равновесное положение свободной поверхности, а пунктир – собственную форму. Количество узлов пересечения равновесной и собственной формы каждого тона колебаний жидкости сходится с экспериментальным результатам колебаний тяжёлой жидкости в наземных условиях [Meserole J.S., 1987].



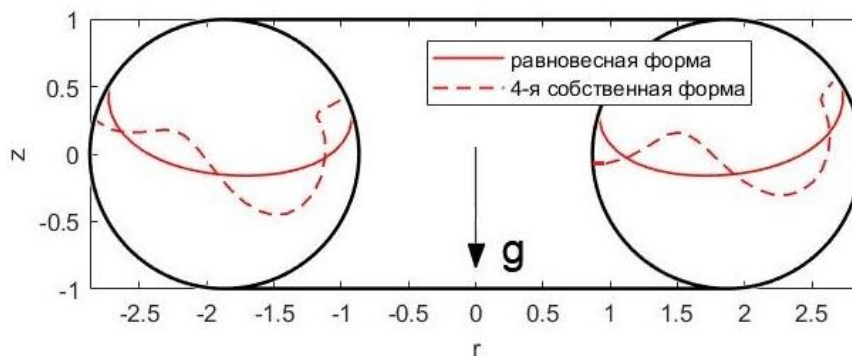
(а)



(б)



(В)



(Г)

Рис. 8. Собственные формы первых четырёх тонов колебаний жидкости.

В главе 4 разработан механический аналог малых движений жидкости в условиях микрогравитации и обоснованы механизмы диссипации энергии колебаний маловязкой жидкости с учётом капиллярного эффекта.

В данной работе механическим аналогом колебаний капиллярной жидкости является маятник со спиральной пружиной (рис. 9). Маятник моделирует воздействие массовой силы, а влияние поверхностного натяжения учитывается спиральной пружиной. В данной работе объектом исследования является жидкость, динамические характеристики которой требуются для разработки математических моделей движения летательных аппаратов с учётом подвижности жидкого топлива в баках.

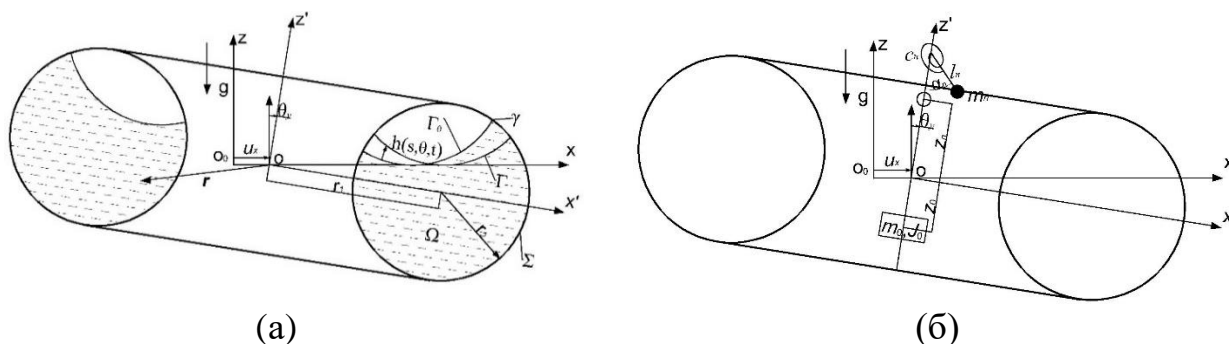


Рис. 9. Обозначения вынужденных колебаний капиллярной жидкости (а) и маятниковой модели со спиральной пружиной (б).

Запишем гидродинамическую силу и её момент, действующие на стенку сосуда от жидкости, от обобщённых координат $u_x(t)$, $\vartheta_y(t)$ и $s_n(t)$ (рис. 9а):

$$F_x = -m\ddot{u}_x - mz_c\ddot{\Theta}_y - \sum_{n=1}^{\infty} \lambda_n \ddot{s}_n, \quad M_y = -mz_c\ddot{u}_x - J\ddot{\Theta}_y + mgz_c\Theta_y - \sum_{n=1}^{\infty} \left(\lambda_{On} \ddot{s}_n - g\lambda_n s_n \right), \quad (20)$$

и уравнения движения капиллярной жидкости в подвижном баке:

$$\ddot{u}_x + \lambda_{On}/\lambda_n \ddot{\Theta}_y - g\Theta_y + \mu_n/\lambda_n \left(\ddot{s}_n + \omega_n^2 s_n \right) = 0, \quad n = 1, 2, \dots, \infty, \quad (21)$$

где m и z_c – суммарная масса и центр массы жидкости, J – присоединённый момент инерции жидкости, μ_n – присоединённая масса жидкости, λ_n и λ_{On} – коэффициенты гидродинамической силы и её момента.

Приведенные гидродинамические коэффициенты имеют вид:

$$m = \rho \int_{\Omega} d\Omega, \quad J = \rho \int_{\Gamma_0 + \Sigma} \psi_y \frac{\partial \psi_y}{\partial n} dS, \quad z_c = \rho \int_{\Omega} z d\Omega / m, \quad \mu_n = \rho \int_{\Gamma_0} \varphi_n \frac{\partial \varphi_n}{\partial n} d\Gamma_0,$$

$$\lambda_n = \rho \int_{\Gamma_0} x \frac{\partial \varphi_n}{\partial n} d\Gamma_0, \quad \kappa_n = \int_{\Gamma_0} \left[(\nabla_{\Gamma} h_n)^2 - (k_1^2 + k_2^2) h_n^2 \right] d\Gamma_0 + \chi \int_{\gamma} h_n^2 d\gamma, \quad (22)$$

$$\eta_n = \rho \int_{\Gamma_0} \left(\frac{\partial \varphi_n}{\partial n} \right)^2 r_{0s} d\Gamma_0, \quad \lambda_{On} = \rho \int_{\Gamma_0} \psi_y \frac{\partial \varphi_n}{\partial n} d\Gamma_0, \quad \omega_n^2 = \frac{\eta_n}{\mu_n} \left(g + \sigma \frac{\kappa_n}{\eta_n} \right).$$

Введена ψ_y потенциала Стокса–Жуковского и для осесимметричного сосуда $\psi_y = -\cos\theta\psi(r, z)$. Вариационная формулировка задачи об определении $\psi(r, z)$:

$$\delta I_3 = 0, \quad I_3 = \frac{1}{2} \int_{\Omega} \nabla \psi \nabla \psi d\Omega - \int_{\Gamma_0 + \Sigma} \psi (rn_z - zn_r) dS. \quad (23)$$

На рис. 10 показаны зависимости основных гидродинамических коэффициентов тороидального сосуда от числа Бонда B_0 и объёма жидкости β .

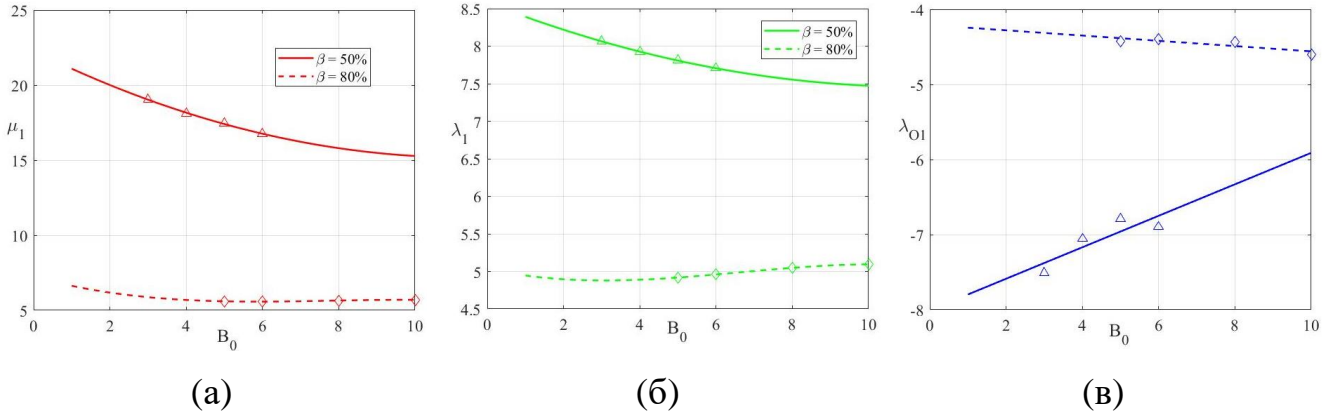


Рис. 10. Коэффициент присоединённой массы жидкости μ_1 (а), коэффициенты гидродинамической силы λ_1 (б) и её момента λ_{O1} (в).

Запишем силу реакции и её момент, действующие на стенку сосуда от маятниковой модели, от обобщённых координат $u_x(t)$, $\Theta_y(t)$ и $\alpha_n(t)$ (рис. 9б):

$$F_{xm} = - \left(m_0 + \sum_{n=1}^{\infty} m_n \right) \ddot{u}_x - \left(m_0 z_0 + \sum_{n=1}^{\infty} m_n z_n \right) \ddot{\Theta}_y - \sum_{n=1}^{\infty} m_n l_n \ddot{\alpha}_n,$$

$$M_{ym} = - \left(m_0 z_0 + \sum_{n=1}^{\infty} m_n z_n \right) \ddot{u}_x - \left(m_0 z_0^2 + \sum_{n=1}^{\infty} m_n z_n^2 + J_0 \right) \ddot{\Theta}_y +$$

$$\left(m_0 z_0 + \sum_{n=1}^{\infty} m_n z_n \right) g \Theta_y - \sum_{n=1}^{\infty} \left(m_n l_n z_n \ddot{\alpha}_n - m_n l_n g \alpha_n \right), \quad (24)$$

и уравнения движения маятниковой модели со спиральной пружиной в подвижном баке:

$$\ddot{u}_x + z_n \ddot{\vartheta}_y - g \vartheta_y + l_n \left(\ddot{\alpha}_n + \omega_{mn}^2 \alpha_n \right) = 0, \quad n = 1, 2, \dots, \infty. \quad (25)$$

где $\omega_{mn}^2 = (g + c_n/m_n l_n)/l_n$ – квадрат собственной частоты маятника.

Определим параметры механического аналога из равенства по силе, моменту, собственным частотам жидкости и её аналога:

$$m_n = \lambda_n^2 / \mu_n, \quad l_n = \mu_n / \eta_n, \quad c_n = \sigma m_n l_n \kappa_n / \eta_n, \quad z_n = \lambda_{on} / \lambda_n, \quad s_n = (\lambda_n / \mu_n) l_n \alpha_n, \quad (26)$$

$$m_0 = m - \sum_{n=1}^{\infty} m_n, \quad z_0 = \left(m z_c - \sum_{n=1}^{\infty} m_n z_n \right) / m_0, \quad J_0 = J - m_0 z_0^2 - \sum_{n=1}^{\infty} m_n z_n^2.$$

Для малых колебаний капиллярной жидкости в круговом цилиндре радиусом r_0 с углом смачивания $\alpha_0 = 90^\circ$ масса маятника m_n , длина стержня l_n и жёсткость спиральной пружины c_n , определяемые по формулам (22) и (26), имеют следующие аналитические выражения:

$$m_n = \rho \pi r_0^3 \frac{2 \tanh(\xi_n H)}{\xi_n (\xi_n^2 - 1)}, \quad l_n = \frac{r_0}{\xi_n \tanh(\xi_n H)}, \quad c_n = \sigma \pi r_0^2 \frac{2}{\xi_n^2 - 1}. \quad (27)$$

Выражения m_n и l_n совпадают с полученными результатами К.С. Колесникова при больших силах тяготения [Колесников К.С. Динамика ракет. М.: Машиностроение, 2003]. Слагаемое $\sigma \pi r_0^2$ жёсткости спиральной пружины c_n означает поверхностную энергию свободной поверхности жидкости.

На рис. 11 приведены параметры механического аналога малых колебаний жидкости в тороидальных сосудах в условиях микрогравитации.

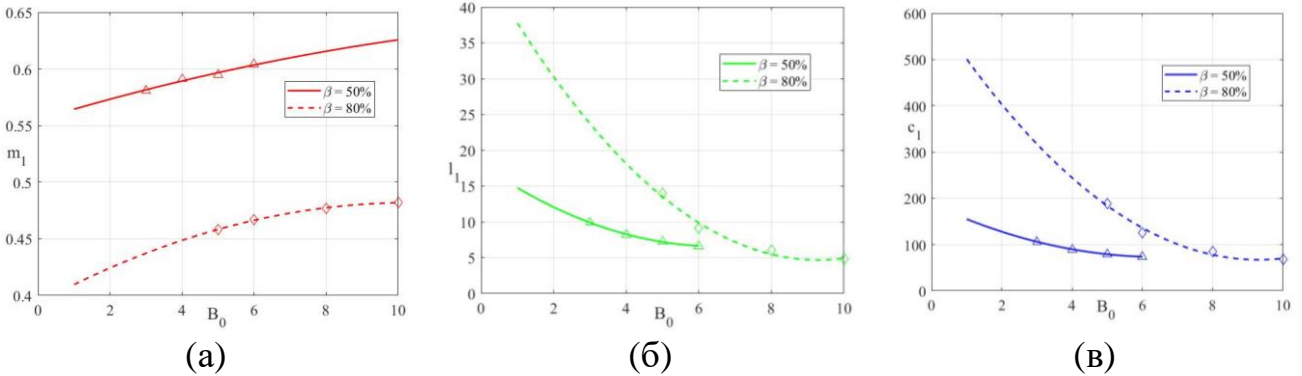


Рис. 11. Масса маятника m_1 (а), длина стержня l_1 (б) и жёсткость спиральной пружины c_1 (в) колебаний жидкости в тороидальных сосудах.

С уменьшением числа Бонда B_0 масса колеблющейся жидкости основного тона m_1 уменьшается, а длина стержня l_1 и жёсткость спиральной пружины c_1 увеличиваются. Так как с уменьшением числа Бонда B_0 равновесная свободная поверхность жидкости более искривлена и больше жидкости смачиваема на твердой стенке сосуда, меньше жидкости колеблется.

Все компоненты жидкого топлива обладают в той или иной степени вязкостью. Для баков с гладкими стенками коэффициенты демпфирования могут определяться по приближённой методике с использованием решения для потенциального течения идеальной жидкости. В дальнейшем приведена оценка декремента малых колебаний жидкого топлива δ_n :

$$\delta_n = \delta_n^\Sigma + \delta_n^\Omega + \delta_n^\Gamma + \delta_n^\gamma, \quad (28)$$

где δ_n^Σ , δ_n^Ω , δ_n^Γ и δ_n^γ – декременты колебаний жидкости вблизи стенки сосуда, в основной массе жидкости, на загрязненной свободной поверхности и на линии трёхфазного контакта соответственно:

$$\delta_n^\Sigma = \frac{\pi}{\sqrt{\text{Re}_n}} \frac{\int_\Sigma \left(\frac{\partial \varphi_n}{\partial \tau} \right)^2 d\Sigma}{\int_{\Gamma_0} \varphi_n \frac{\partial \varphi_n}{\partial n} d\Gamma_0} \text{ на } \Sigma, \quad \delta_n^\Omega = \frac{\pi}{\text{Re}_n} \frac{\int_\Omega \kappa(\nabla \varphi_n) d\Omega}{\int_{\Gamma_0} \varphi_n \frac{\partial \varphi_n}{\partial n} d\Gamma_0} \text{ в } \Omega,$$

$$\delta_n^\Gamma = \frac{\pi}{\sqrt{\text{Re}_n}} \frac{\int_{\Gamma_0} (1 - C_\Gamma)^2 \left(\frac{\partial \varphi_n}{\partial \tau} \right)^2 d\Gamma_0}{\int_{\Gamma_0} \varphi_n \frac{\partial \varphi_n}{\partial n} d\Gamma_0} \text{ на } \Gamma, \quad \delta_n^\gamma = \frac{\pi}{\text{Re}_n^* \sin^2 \alpha_0} \frac{\int_\gamma \left(\frac{\partial \varphi_n}{\partial \tau} \right)^2 d\gamma}{\int_{\Gamma_0} \varphi_n \frac{\partial \varphi_n}{\partial n} d\Gamma_0} \text{ на } \gamma$$

где $\text{Re}_n = \omega_n l^2 / \nu$ и $\text{Re}_n^* = \rho \omega_n l^2 / \mu_\gamma$ – введённые безразмерные параметры, эквивалентные числу Рейнольдса, C_Γ – коэффициент пропорциональности скоростей частицы на свободной поверхности [Miles J.W., 1967], $\kappa(\nabla \varphi_n)$ – функция, характеризующая рассеивание энергии на единицу объёма жидкости [Слэзкин Н.А. Динамика вязкой несжимаемой жидкости. М.: Государственное издательство технико-теоретической литературы, 1955].

В данной работе в основном исследована диссипация энергии вблизи линии трёхфазного контакта. Непосредственные наблюдения показывают, что жидкость в первый период колебаний смочила стенку сосуда и при следующих циклах движется по поверхности, покрытой плёнкой жидкости малой толщины. В плоскости контакта возникают касательные напряжения трения F_τ , пропорциональные касательной составляющей скорости $(\partial h / \partial t) / \sin \alpha_0$ и некоторому коэффициенту трения μ_γ .

При плескании жидкости движущаяся сила σ^* , вызванная отличием α^* динамического угла смачивания от статического (рис. 12), уравновешивается F_τ :

$$F_\tau = -\mu_\gamma \frac{\partial h}{\partial t} \frac{1}{\sin \alpha_0}, \quad \sigma^* = \sigma \alpha^* \sin \alpha_0, \quad F_\tau + \sigma^* = 0 \Rightarrow \alpha^* = \frac{\mu_\gamma}{\sigma \sin^2 \alpha_0} \frac{\partial h}{\partial t}, \quad (29)$$

На основе (29) установлено соотношение между изменением угла смачивания и скоростью линии контакта.

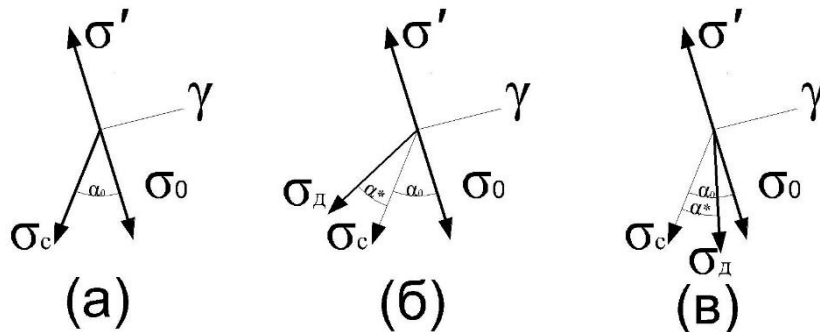


Рис. 12. Схема изменения угла смачивания жидкости: (а) – равновесие, (б) – жидкость движется в сторону газа, (в) – движется от стороны газа, где σ_0 и σ' – поверхностное натяжение разделов жидкости–стенки и газа–стенки, σ_c и σ_d – статическое и динамическое поверхностное натяжение раздела жидкости–газа.

Используя решения задачи о малых возмущениях свободной поверхности

[Мышкис А.Д., Бабский В.Г., Жуков М.Ю., Копачевский Н.Д., Слобожанин Л.А., Тюпцов А.Д. Методы решения задач гидромеханики для условий невесомости. Киев: Наукова Думка, 1992. С. 102–104], получим граничное условие с учётом изменения угла смачивания в сосудах произвольной формы:

$$\frac{\partial h}{\partial e} + \chi h + \frac{\mu_\gamma}{\sigma \sin^2 \alpha_0} \frac{\partial h}{\partial t} = 0 \text{ на } \gamma. \quad (30)$$

Параметр χ задан в главе 3 и описывает форму стенки и свободной поверхности на ЛТК. Из (30) вытекают другие две модели движения ЛТК:

1). $\mu_\gamma = 0$, т.е. имеем условие о сохранении угла смачивания, как было показано в работах Н.Д. Копачевского: $\partial h / \partial e + \chi h = 0$ на γ ;

2). $\mu_\gamma \rightarrow \infty$, т.е. имеется модель неподвижной ЛТК: $h = 0$ на γ .

Решения задачи $\varphi(r, z, \theta, t)$ и $h(s, \theta, t)$ представим в виде:

$$\varphi(r, z, \theta, t) = \sum_{n=1}^{\infty} \varphi_n(r, z, \theta) e^{\Omega_n t}, \quad h(s, \theta, t) = \sum_{n=1}^{\infty} h_n(s, \theta) e^{\Omega_n t}, \quad (31)$$

где $\Omega_n = -\varepsilon_n + i\omega_n$ – комплексная частота колебаний жидкости, а ε_n – коэффициент затухания за счёт диссипации энергии на ЛТК.

Вариационная формулировка задачи с условием (30) принимает вид:

$$\delta I_4 = 0, \quad I_4 = \int_{\Gamma_0} \left\{ B_0 r_{0s} - (k_1^2 + k_2^2) \right\} h_n^2 + \nabla_\Gamma h_n \nabla_\Gamma h_n \Big\} d\Gamma_0 + \chi \int_\gamma h_n^2 d\gamma + C_a \Omega_n \int_\gamma h_n^2 d\gamma + \int_\Omega \nabla \varphi_n \nabla \varphi_n d\Omega. \quad (32)$$

где C_a – число капиллярности, характеризующее соотношение силы вязкости и силы поверхностного натяжения:

$$C_a = \frac{\mu_\gamma}{\sin^2 \alpha_0 \sqrt{\rho l \sigma}} = \frac{\sqrt{\rho l^3 \omega_n^2 / \sigma}}{\rho l^2 \omega_n \sin^2 \alpha_0 / \mu_\gamma} = \frac{\omega_n^*}{\text{Re}_n^* \sin^2 \alpha_0}. \quad (33)$$

Здесь $\omega_n^* = \omega_n (\rho r_2^3 / \sigma)^{1/2}$ и $\text{Re}_n^* = \rho \omega_n r_2^2 / \mu_\gamma$ – безразмерная частота и введённый критерий Рейнольдса для капиллярной жидкости.

Из выражения числа капиллярности C_a следует, что данное безразмерное число чувствительно к углу смачивания α_0 , который зависит от свойств жидкости и стенки сосуда. Реальное ракетное топливо в сосудах имеет маленький угол смачивания, близкий к нулю, так как необходимо учитывать диссипацию энергии вблизи ЛТК хотя имеется большое значение Рейнольдса Re_n^* .

Используя метод конечных элементов, из (32) получим задачу на определение собственных частот и форм колебаний капиллярной жидкости:

$$\left(\Omega_n^2 \mathbf{M} + \Omega_n \mathbf{C} + \mathbf{K} \right) \frac{\partial \Phi}{\partial \mathbf{n}} = 0, \quad (34)$$

где матрицы жёсткости \mathbf{K} и инерции \mathbf{M} получены как для задач колебаний идеальной жидкости в главе 3, а матрица вязкости \mathbf{C} имеет размерность $n_f \times n_f$ и составлена из матриц \mathbf{C}_i , δ_{jk} – символ Кронекера,

$$\mathbf{C}_i = [C_{jk}^i] \text{ и } C_{jk}^i = (C_a r)_\gamma \delta_{jk}. \quad (35)$$

В программе MATLAB получены коэффициенты демпфирования ε_1 и частоты колебаний основного тона при различных числах капиллярности C_a , числах Бонда B_0 и объёмах жидкости β , показанные на рис. 13–14.

Из рис. 13 следует, что число капиллярности C_a в диапазоне 10–100

приводит к значительной диссипации энергии вблизи линии контакта и коэффициент демпфирования ϵ_1 имеет один порядок как коэффици затухания вблизи стенки сосуда. А из выражения числа капиллярности C_a видно, что при маленьком угле смачивания α_0 и большом коэффициенте трения μ_γ число капиллярности C_a реальной жидкости может быть находится в этом диапазоне.

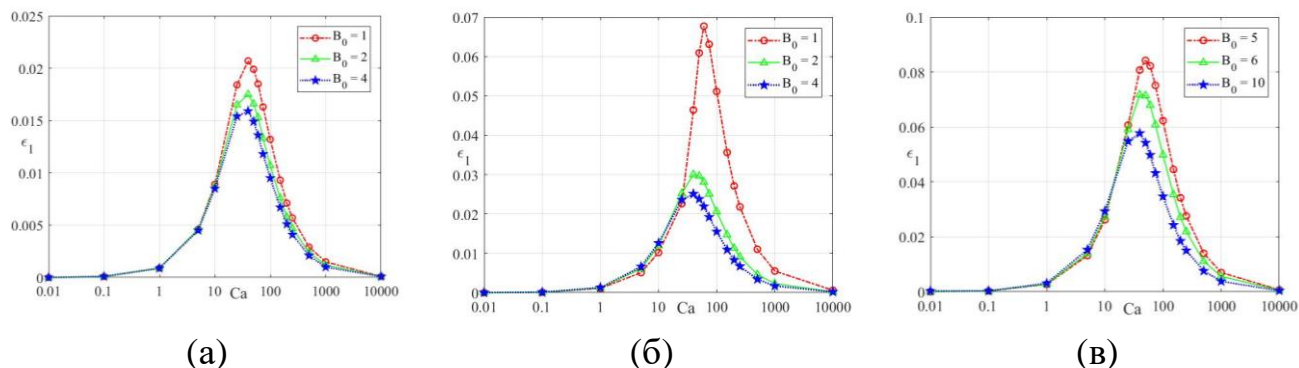


Рис. 13. Коэффициент затухания основного тона ϵ_1 в зависимости от числа капиллярности C_a и числа Бонда B_0 , (а) – $\beta = 20\%$, (б) – 50% и (в) – 80% .

На рис. 14 видно, что собственная частота ω_1 при C_a в диапазоне 10–100 монотонно увеличивается с повышением числа капиллярности. При $C_a \rightarrow 0$ собственная частота совпадает с численным значением частоты колебаний жидкости с граничным условием о сохранении угла смачивания α_0 , а при $C_a \rightarrow \infty$ частота ω_1 приближается к результатам при неподвижной ЛТК γ ($h = 0$ на γ).

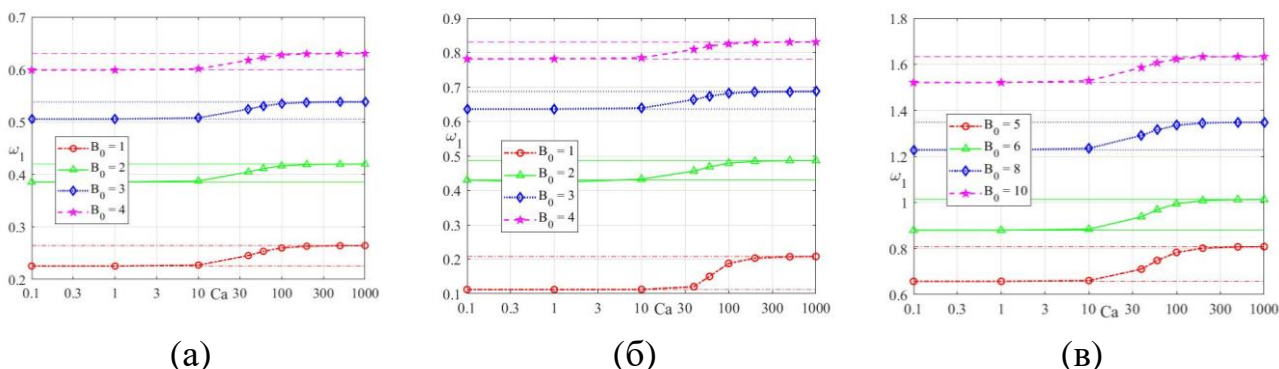


Рис. 14. Собственная частота основного тона ω_1 в зависимости от числа капиллярности C_a и числа Бонда B_0 , (а) – $\beta = 20\%$, (б) – 50% и (в) – 80% .

ОСНОВНЫЕ ВЫВОДЫ

1. При уменьшении числа Бонда B_0 равновесная свободная поверхность более искривлена и в условиях полной невесомости жидкость сосредоточена около внешней стенки тороидального сосуда. Данное явление можно объяснять теоретически: в условиях, близких к невесомости, жидкость стремится занимать положение минимальной потенциальной энергии, т.е. в сторону меньшего радиуса кривизны. Подобное явление экспериментально наблюдалось в башне невесомости;
2. В тороидальных сосудах с повышением числа Бонда B_0 значения собственных частот увеличиваются и количество узлов пересечения равновесной поверхности и собственной формы каждого тона колебаний жидкости

- сходится с экспериментальным результатам тяжёлой жидкости;
3. Разработан механический аналог малых колебаний жидкости в условиях микрогравитации и получена формула жёсткости спиральной пружины;
 4. Дана оценка диссипации энергии вблизи ЛТК. Отличие динамического угла смачивания от статического в процессе движения жидкости приводит к диссипации энергии. Число капиллярности C_a в диапазоне 10–100 приводит к значительной диссипации энергии вблизи ЛТК и коэффициент затухания ε_1 имеет порядок как коэффициент затухания вблизи стенки сосуда;
 5. Предложен алгоритм на основе метода конечных элементов для определения динамических характеристик малых колебаний капиллярной жидкости, пригодный для любого осесимметричного сосуда.

ОСНОВНЫЕ ПУБЛИКАЦИИ ПО ТЕМЕ ДИССЕРТАЦИИ

1. Юй Чжаокай, Темнов А.Н. Исследование равновесной свободной поверхности капиллярной жидкости в тороидальном сосуде // **Инженерный журнал: наука и инновации. 2021. Вып. 3. С. 1–11.**
2. Юй Чжаокай, Темнов А.Н. Равновесие и колебания свободной поверхности жидкого топлива в коаксиально-цилиндрических сосудах в условиях микрогравитации // **Инженерный журнал: наука и инновации. 2021. Вып. 8. С. 1–15.**
3. Юй Чжаокай. Волновые движения жидкого топлива в тороидальных сосудах с учётом силы поверхностного натяжения // **Вестник Томского государственного университета. Математика и механика. 2022. № 78. С. 151–165.**
4. Юй Чжаокай, Темнов А.Н. Механический аналог малых колебаний жидкости в условиях, близких к невесомости // **Труды МАИ. 2022. № 126.**
5. Темнов А.Н., Шкапов П.М., Юй Чжаокай. Механический аналог колебаний маловязкой жидкости с учётом капиллярного эффекта // **Труды МАИ. 2023. № 129.**
6. Юй Чжаокай, Темнов А.Н. Исследование равновесной свободной поверхности капиллярной жидкости в топливных баках // **Материалы VI международной научной конференции «Фундаментальные и прикладные задачи механики». Часть 2. Москва. 02–04 декабря 2020 г. С. 88–92.**
7. Юй Чжаокай, Темнов А.Н., Шкапов П.М. Оценка коэффициента демпфирования колебаний жидкости вблизи линии трёхфазного контакта // **Материалы VIII международной научной конференции «Фундаментальные и прикладные задачи механики». Москва. 06–09 декабря 2022 г.**
8. Юй Чжаокай, Темнов А.Н. Равновесие и колебания в условиях микрогравитации свободной поверхности жидкого топлива в коаксиальном цилиндре // **Сборник тезисов международной конференции XLV Королёвские чтения-2021. Москва. 30 марта – 02 апреля 2021 г. С. 156–158.**
9. Темнов А.Н., Шкапов П.М., Юй Чжаокай. Механический аналог колебаний жидкости в условиях, близких к невесомости // **Сборник тезисов международной конференции XLVII Королёвские чтения-2023. Москва. 24 – 27 января 2023 г.**
10. Юй Чжаокай. Равновесие в условиях микрогравитации свободной

поверхности жидкого топлива в тороидальных сосудах круглого и эллиптического сечения // Сборник тезисов работ международной молодёжной конференции XLVII Гагаринские чтения-2021. Москва. 20–23 апреля 2021 г. С. 850.

11. Юй Чжаокай. Численное моделирование колебаний жидкости в тороидальных сосудах при условиях микрогравитации // Волны и вихри в сложных средах: 12-ая международная конференция – школа молодых учёных. Москва. 01–03 декабря 2021 г. С. 256–259.
12. Юй Чжаокай. Исследование малых колебаний жидкости в условиях микрогравитации // Волны и вихри в сложных средах: 13-ая международная конференция–школа молодых учёных. Москва. 30 ноября–02 декабря 2022 г. С. 300–304.
13. Юй Чжаокай, Темнов А.Н. Формы равновесия жидкости в тороидальном сосуде в условиях, близких к невесомости // Сборник материалов международной конференции КРОМШ-2020. Алушта. 19–27 сентября 2020 г. С. 271–273.
14. Юй Чжаокай, Темнов А.Н. Равновесие и колебания в условиях микрогравитации жидкого топлива в двухсвязных сосудах // Сборник материалов международной конференции КРОМШ-2021. Алушта. 17–26 сентября 2021 г. С. 108.
15. Юй Чжаокай, Темнов А.Н. Механический аналог малых колебаний жидкости в условиях микрогравитации // Сборник материалов международной конференции КРОМШ-2022. Алушта. 16–25 сентября 2022 г. С. 57.